

日本建設コンサルタント 正 小川義忠
 京都大学 防災研究所 正 芳田和男
 京都大学 防災研究所 正 江頭進治
 建設省 計画局 正 金屋敷忠儀

1. まえがき ウオッシュロードのような微細土砂の主要な生産源は、従来、裸地であると考えられていましたが、最近の研究においても、河岸堆積物であることが少くないことが判明しています。したがって、流域河道の任意断面における微細土砂の輸送量や清水濃度を予測するには、河道における微細土砂の生産・流出機構を考慮した計算法の確立が必要である。本研究は、このうな観点から進められたものであって、ここでは、河道における微細土砂の生産・流出モデル、モデルの主要なパラメータおよびモデルの適用について考察する。

2. 微細土砂の生産・流出モデル 前報において、河道における微細土砂の生産・流出機構として堆積物の侵食・堆積および清水と間隙水の交換機構を考え、河道堆積物に含まれる微細土砂の含有率を δ_1 として、さらに δ_2 を侵食と同時に流出する成分 δ_1' 、粗い粒子の輸送過程で剥離する成分 δ_2 および剥離しない成分 δ_3 に分割 ($\delta_1 + \delta_2 + \delta_3 = 1$) し、河道を長方形断面で近似した場合の流出・入機構を図1のよう示すとともに清水濃度C上に因して次式を提示した。

$$\frac{\partial C}{\partial t} + Q/A \cdot \frac{\partial C}{\partial x} = k_1 - k_2 C \quad \dots \dots \dots (1)$$

$$k_1 = [(\sigma/\rho \cdot \delta_{1s}' p_{fs} + e_s c_s) g_s + \lambda_b c_b B V_{eb} + 2 \lambda_s h C_s V_{es} - \{\lambda_b c_b + \sigma/(1-\lambda_b) \delta_{1b}' p_{fb}\} B \frac{\partial C}{\partial t}] / A \quad \dots \dots \dots (2)$$

$$k_2 = (e_s g_s + \lambda_b B V_{eb} + 2 \lambda_s h V_{es}) / A \quad \dots \dots \dots (3)$$

ここで、添字s,bは側岸および河床における諸量を意味し、 k_1 : 側岸侵食量、 $\frac{\partial C}{\partial t}$: 単位時間の河床変動、 p_f, σ : 清水および堆積物の密度、 C : 向隙比、 λ : 向隙率、 C_s, C_b : 交換層における側岸および河床の向隙水濃度、 V_e : 交換速度である。微細土砂の剥離による流出(図1の3)は、一般に短時間のうちに終了するので、 δ_2 は δ_1 に含めて扱うことができたため、上式では $\delta_{1s}' = \delta_{1s} + \delta_{2s}$ および $\delta_{1b}' = \delta_{1b} + \delta_{2b}$ とされてある。また、河床工界 $\frac{\partial C}{\partial t} \geq 0$ の場合、(2)式の $\{\dots\} \frac{\partial C}{\partial t}$ の項は0である。上式は、 $C_b \neq C_s \ll C$ と置ければかなり簡略化される。そこで、交換層における向隙水濃度 C_b について、交換層の厚さを d (d : 粗粒子径)として交換層内の流れを無視した図2のモデルに基づいて検討しよう。同図を参考に、(2)式を方程式を作ると $d C_b / dt = V_{eb} / d \cdot C - (V_{eb} + w_o + V_a) / d \cdot C$ となる。これを $d C_b / dt = 0$ の条件下で解き、 $t=0$ で $C_b=0$ とする、

$$C_b(t) = \{1 - \exp[-(V_{eb} + w_o + V_a)t / d]\} V_{eb} / (V_{eb} + w_o + V_a) \cdot C \quad \dots \dots \dots (4)$$

を得た。ここで、 w_o : 微細土砂の溶解速度、 V_a : 吸着係数($L T^{-1}$)である。後述の実験では $w_o = 30 \mu$ 程度の微細土砂が用いられてるので、 $w_o = 0.055 \text{ cm/s}$ 、 $d = 0.1 \text{ cm}$ (粗い成分)および $C = 2$ とすると(4)式の $\{ \}$ の値は急速に1に近づき、 $C_b = V_{eb} / (V_{eb} + w_o + V_a) \cdot C$ となる。 V_a に関する情報がないので、とりあえず $V_a \approx w_o$ とし、 V_{eb} に関する図3の結果を参考にすると、一般的の条件では $C_b \ll C$ となる。図2式における C_b を因数に含む項は省略された。また、同様のこと $C_s \ll C$ も言える。したがって、 $C_b \neq C_s \ll C$ および $\frac{\partial C}{\partial t} \geq 0$ の場合、(2)式は簡略化されて、 $k_1 = \sigma/\rho \cdot \delta_{1s}' g_s / A$ と表示される。つぎに、本モデルの主要なパラメーターに関する実験結果を示す。

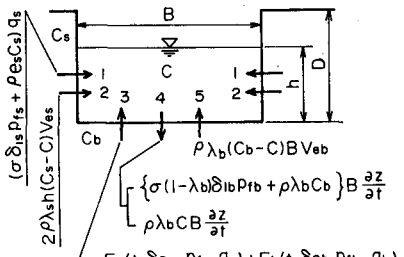


図1. 微細土砂のフラックス

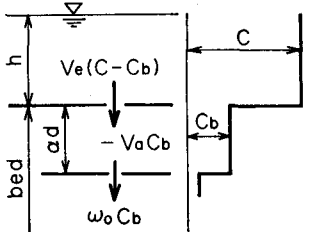


図2. 間隙にあり得る微細土砂のフラックスと濃度分布

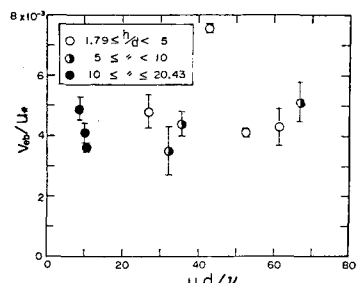


図3. 交換速度

3. 実験結果 図-3は、河床における交換速度に関する実験値を示したものである。人が一定の場合、 V_{eb}/U_* は $U_e d / \lambda$ あるいは h/d の関数にはなることが推察されるが、図より、 V_{eb}/U_* はほぼ一定である、交換速度は摩擦速度に比例することができる。図-4の結果は、側方侵食を受けて河床に堆積したのに含まれる微細土砂の含有率の縦断分布を示したものである。なお、本実験における側岸材料は、 $d_{50} = 30 \mu\text{m}$ の微細土砂と $d_m = 0.5 \text{ mm}$ の砂を混合 ($P_s = 5\%$) して作られていく。受食性区間の下流における微細成分の含有率 ($\delta_{ss} P_s = P_d$) は $0.1 \sim 0.2\%$ の範囲にあり、しかもほぼ一定である。これは、 δ_2 を用いて剥離過程が短時間で終了し、 $\delta_1 + \delta_2 = \delta'$ としてもよく、また、ほとんどの微細土砂が侵食と同時に流出することを意味するものである。

図-5は側岸侵食量に関する実験値と直線流路を対象として提案された村本ら³⁾および藤田の式を比較したものである。また、実験値は村本らの中規模形態の領域区分図によって分類されていく。図の横軸は、側岸における無次元揚着力 γ_c と無次元限界揚着力 γ_{c*} の比である。実験値についてみると、直線および蛇行流路のデータは現在しており、網状流路のものは、前二者のものよりもかなり大きくなっている。図中の二つの侵食量式は、これらのデータの平均的な値を示しているが、図の比較からわかるように、これらの式を適用する場合、条件によつては 10 倍程度の推定誤差を見込まねばならない。

4. 生産・流出モデルの適用 図-6は、 $d_{50} = 30 \mu\text{m}$ と $d_m = 0.5 \text{ mm}$ の土砂の混合物 ($P_s = 5\%$) を用いて全長 4 m の台形断面流路を作り、上流端より定常給水を行って水路下流端で測定される微細土砂の流出量の累加と(1)~(3)式より算定される累加量とを比較したものである。計算に際して、図-4, 5 より $V_{eb}/U_* = V_{es}/U_* = 4.33 \times 10^{-3}$, $\delta'_{10} = 0.973$ とし、 δ_s には実験値が用いられていく。同図より、両者の対応はよく、生産・流出モデルの妥当性が伺える。図-7は、清水濃度に対する交換現象の役割を見たため、

実験規模の現象を念頭に置いて $B = 112 \text{ cm}$, $L = 0.01$, $P_s = 0.06$, $P_d = 0$ および $d = 2 \text{ cm}$ の無限長の長方形断面流路の上流端より $500 \text{ m}^3/\text{s}$ の定常給水が行われた場合の濃度変化を、 $V_e/U_* = 9.33 \times 10^{-3}$ と $V_e/U_* = 0$ の場合について計算した結果である。なお、この計算では、 $\delta'_{10} = 1$, $\pi = 0.03$ および側岸侵食量式として村本らの式が用いられていく。同図より、滴下距離の増加に伴う微細土砂の交換層への取り込みの影響が顕著になっていくのがわかる。

5. あとがき 以上、河道における微細土砂の生産・流出モデル、本モデルの主要なパラメータ - および適用例について若干の検討を行った。このモデルの妥当性は示されたものと認められるが、これをより一般化するには、一般的の材料を用いたパラメータの検討を進めていく必要がある。なお、実験に用いた事項は講演時に述べた。

参考文献 1) 金屋敷・芦田・江頭: 第24回水理講演会, 1980, pp. 143 ~ 151.

2) 芦田・江頭・小川・大槻: 昭和55年度関西支部講演会, 1980.

3) 村本・田中・藤田: 京大防災研究所年報 15号B2, 1972, pp. 385 ~ 412.

4) 藤田: 京大防災研究所年報 22号B2, 1979, pp. 537 ~ 552.

5) 村本・藤田: 京大防災研究所年報 20号B-2, 1977, pp. 243 ~ 258.

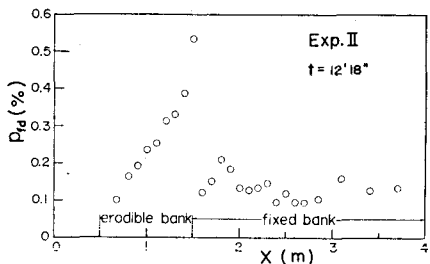


図-4. $\delta_{ss} P_s (= P_d)$ の縦断変化

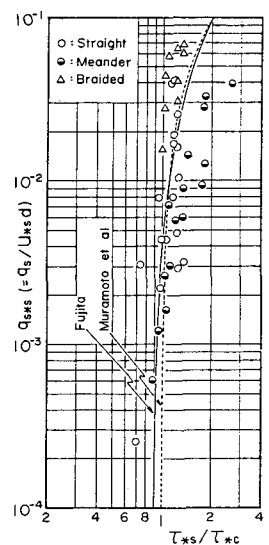


図-5. 側岸侵食量

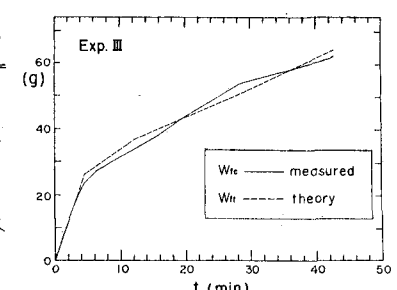


図-6. 水路下流端における微細土砂の流出量に関する実験値と理論値の比較

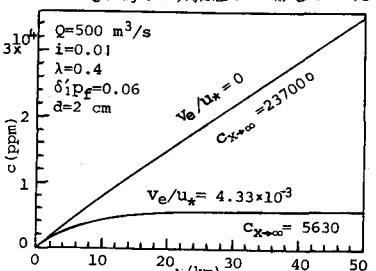


図-7. 清水濃度の縦断変化